

丢番图方程 $x^2 = 4 \cdot 3^n + 13$ 的正解

The Solution of Diophantine Equation $x^2 = 4 \cdot 3^n + 13$

黎进香

Li Jinxiang

(广西民族学院数学系,广西南宁 530006)

(Dept. of Math., Guangxi Univ. for Nationalities, Nanning, Guangxi, 530006, China)

摘要:用完全初等的方法证明丢番图方程 $x^2 = 4 \cdot 3^n + 13$ 仅有 3 组正解.

关键词:丢番图方程 Pell 方程 最小非负剩余 正解

中图法分类号:O156.7

Abstract: An elementary solution of the Diophantine equation in the title is given.

Key words: diophantine equation, Pell's equation, minimal non-negative residue, solution

A. Bremner 等^[1]在研究编码理论时得到 1 个丢番图方程

$$x^2 = 4 \cdot 3^n + 13. \quad (1)$$

A. Bremner 等^[2]将方程(1)变成 3 个椭圆曲线

$$\begin{cases} y^2 = 4x^3 + 13, \\ y^2 = 12x^3 + 13, \\ y^2 = 36x^3 + 13. \end{cases} \quad (2)$$

从而给出 1 个用到较高深的代数数论和 P-adic 方法的解法. 本文给出 1 个仅仅用到 Pell 方程和同余性质的初等解法.

定理 方程(1)仅有正整数解 $(n, x) = (1, 5), (2, 7), (3, 11)$.

证明

首先,若 n 为偶数,设 $n = 2k$,则(1)式给出

$$x + 2 \cdot 3^k = 13, x - 2 \cdot 3^k = 1,$$

两式相减得 $4 \cdot 3^k = 12, k = 1, n = 2, x = 7$.

再设 n 为奇数,设 $n = 2k + 1$,以下只需证明 $k > 1$ 时方程无解即可. 本文考虑二次丢番图方程

$$x^2 - 3 \cdot (2 \cdot 3^k)^2 = 13, \quad (3)$$

熟知文献[3],(3)式的解由下列式子给出

$$\begin{aligned} x + 2 \cdot 3^k \sqrt{3} &= (4 \pm \sqrt{3})(2 + \sqrt{3})^m \\ &= (4 \pm \sqrt{3})(x_m + y_m \sqrt{3}) \text{(对某些整数 } m\text{)}, \end{aligned} \quad (4)$$

(4) 式给出

$$2 \cdot 3^k = x_m + 4y_m = u_m, u_0 = 1, u_1 = 6 \quad (5)$$

或

$$2 \cdot 3^k = 4y_m - x_m = v_m, v_0 = -1, v_1 = 2. \quad (6)$$

容易验证下列关系式:

$$x_{m+n} = x_m x_n + 3y_m y_n, y_{m+n} = x_m y_n + x_n y_m (m, n$$

是任意整数), \quad (7)

$$x_{-n} = x_n, y_{-n} = -y_n, \quad (8)$$

$$x_{2n} = x_n^2 + 3y_n^2 = 2x_n^2 - 1 = 6y_n^2 + 1, y_{2n} = 2x_n y_n, \quad (9)$$

$$x_{n+2kr} \equiv (-1)^k x_n (\bmod x_r), y_{n+2kr} \equiv (-1)^k y_n (\bmod x_r), \quad (10)$$

$$x_{n+2kr} \equiv x_n (\bmod y_r), y_{n+2kr} \equiv y_n (\bmod y_r), \quad (11)$$

$$x_{n+2} = 4x_{n+1} - x_n, x_0 = 1, x_1 = 2, \quad (12)$$

$$y_{n+2} = 4y_{n+1} - y_n, y_0 = 0, y_1 = 1, \quad (13)$$

$$x_9 = 70226 = 2 \cdot 13 \cdot 37 \cdot 73.$$

在(5)式和(6)式中分别设 $x_m + 4y_m = u_m, 4y_m - x_m = v_m$, 有

$$u_{m+2} = 4u_{m+1} - u_m, u_0 = 1, u_1 = 6, \quad (14)$$

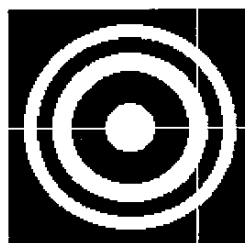
$$v_{m+2} = 4v_{m+1} - v_m, v_0 = -1, v_1 = 2, \quad (15)$$

若 $k > 1$, 对(14)式和(15)式分别取 $(\bmod 9)$ 得周期序列(对 $m = 0, 1, 2, \dots$, 周期为 18)如下;

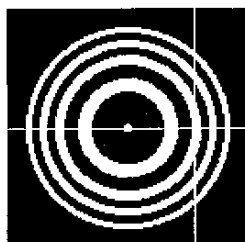
$$(m, u_m, v_m) = (0, 1, -1), (1, 6, 2), (2, 5, 0), (3, 5, 7), (4, 6, 1), (5, 1, 6), (6, 7, 5), (7, 0, 5), (8, 2, 6), (9, 8, 1), (10, 3, 7), (11, 4, 0), (12, 4, 2), (13, 3, 8), (14, 8, 3), (15, 2, 4), (16, 0, 4), (17, 7, 3); (18, 1, -1), (19, 6, 2), \dots (\bmod (18, 9, 9)).$$

由此可知仅当 $m = 7 + 18t$ 或 $m = 16 + 18t$ 时有 $9 | u_m, m = 2 + 18t$ 或 $m = 11 + 18t$ 时有 $9 | v_m$.

(下转第 54 页)



(d)



(e)

图3 M_1 与 M_2 垂直的干涉图样

(a)~(e)为 d 由大变小至零,然后又反向变大的干涉图样

4.3 条纹移动及测量

通过对对象(M_1)的KeyDown事件^[5]上下移动 M_1 ,其象 M'_1 也关联水平移动,实现 d 的改变。每发生1个KeyDown事件, d 将改变1个数值。由式(2)知,对于同1个 r_k , Q 随 d 而变,因此用Circle方法所画的圆其亮度将改变,实现亮度的移动,其结果是明

暗条纹的移动。当 d 增大时,可看到从干涉条纹中心,条纹不断涌出。当 d 变小时,最靠近中心的条纹将不断的陷入中心。记录 d 变化 Δd 后干涉条纹移过十字叉丝的个数,由 $\Delta d = N\lambda/2$,可以测量波长。

5 结束语

利用计算机模拟仿真物理实验,可以使学生对实验原理、实验过程、实验步骤有更好的理解。由于交互性强,能更好地培养学生的动手能力,从而极大地丰富了物理实验的教学方法和手段,起到物理实验辅助教学的作用。

参考文献:

- 1 母国光,战元龄.光学.北京:人民教育出版社,1978. 237~243.
- 2 Microsoft公司. Visual Basic 6.0 中文版程序员指南.希望图书创作室译.北京:希望电子出版社,1998. 367~433.
- 3 王宏,李冬,付新苗. Windows API 常用技巧汇编.北京:清华大学出版社,2000.
- 4 王克己. Visual Basic 4.0 参考手册.北京:人民邮电出版社,1997. 51~52.
- 5 Microsoft公司. Visual Basic 6.0 中文版语言参考手册.希望图书创作室译.北京:北京希望电子出版社,1998. 569~571.

(责任编辑:黎贞崇)

(上接第51页)

由(10)式有

$$2 \cdot 3^k = x_{18t+s} + 4y_{18t+s} \equiv \pm (x_s + 4y_s) \pmod{x_9}, \text{其中 } s = 7 \text{ 或 } -2, \quad (16)$$

$$2 \cdot 3^k = 4y_{18t+s} - x_{18t+s} \equiv \pm (x_s - 4y_s) \pmod{x_9}, \text{其中 } s = -7 \text{ 或 } 2. \quad (17)$$

结合(8)式、(14)式和(15)式有

$$\begin{aligned} & 2 \cdot 3^k \equiv \pm (x_7 \pm 4y_7) \pmod{x_9} \\ \text{及 } & 2 \cdot 3^k \equiv \pm (x_2 \pm 4y_2) \pmod{x_9} \\ \text{或 } & 2 \cdot 3^k \equiv \pm u_2, \pm u_7, \pm v_2, \pm v_7 \pmod{x_9}. \end{aligned} \quad (18)$$

注意到 $73|x_9$,由(19)式和(18)式给出 $2 \cdot 3^k \equiv \pm 23, \pm 42, \pm 9, \pm 32 \pmod{73}$.

$$\begin{aligned} (n, u_n, v_n) \equiv & (0, 1, -1), (1, 6, 2), (2, 23, 9), \\ & (3, 13, 34), (4, 29, 54), (5, 30, 36), (6, 18, 17), (7, \\ & 42, 32), (8, 4, 38), (9, 47, 47), (10, 38, 4), (11, 32, \\ & 42), (12, 17, 18), (13, 36, 30), (14, 54, 29), (15, 34, \\ & 13), (16, 9, 23), (17, 2, 6), (18, 72, 1), (19, 67, 71), \\ & (20, 50, 64), (21, 60, 39), (22, 44, 19), (23, 43, 37), \\ & (24, 55, 56), (25, 31, 41), (26, 69, 35), (27, 26, 26), \\ & (28, 35, 69), (29, 41, 31), (30, 56, 55), (31, 37, 43), \end{aligned}$$

$$(32, 19, 44), (33, 39, 60), (34, 64, 50), (35, 71, 67); \\ (36, 1, -1), (37, 6, 2), (\text{mod}(36, 73, 73)). \quad (19)$$

当 $k=1, 2, 3, \dots$ 时, $2 \cdot 3^k \pmod{73}$ 的最小非负剩余将形成1个周期为12的周期序列:

$$(k, 2 \cdot 3^k) \equiv (1, 6), (2, 18), (3, 54), (4, 16), (5, 48), (6, 71), (7, 67), (8, 55), (9, 19), (10, 57), (11, 25), (12, 2); (13, 6), (\text{mod}(12, 73)),$$

在这个周期序列里没有1个数等于 $23, 42, 9, 32, 73 - 23 = 50, 73 - 42 = 31, 73 - 9 = 64, 73 - 32 = 41$. 这说明在 $k > 1$ 时(5)和(6)式是不可能的. 而当 $k=0, 1$ 时显然分别给出解 $(n, x) = (1, 5), (3, 11)$. 证毕.

参考文献:

- 1 Bremner A, et al. Two-weight ternary codes and the equation. J Number Theory, 1983, 16: 212~234.
- 2 Bremner A, et al. The integer point on there related elliptic curves. Math Comp, 1982, 39: 235~238.
- 3 曹珍富.丢番图方程引论.哈尔滨:哈尔滨工业大学出版社,1989.

(责任编辑:黎贞崇)